

0310502

## 脳波バイオフィードバックトレーニングによる集中力増強の方法的検討（1）

—— 優勢脳波 $F_{P2} \alpha_2$  波増強による事例を中心に ——

○丹羽勲昭 弘志穂（奈良女子大学）

脳波、バイオフィードバックトレーニング、優勢脳波 $F_{P2} \alpha_2$  波、集中力

[ 目的 ]

脳波によるバイオフィードバックトレーニング（BFT）による集中力増強の方法を開発するため、次の仮説を検討する。  
1 集中力が増強している時は優勢脳波 $F_{P2} \alpha_2$  波が多く出現する。2 脳波BFTによって優勢脳波 $F_{P2} \alpha_2$  波を増大できる。3 優勢脳波 $F_{P2} \alpha_2$  波を増大することによって、集中力を増強できる。

[ 方法 ]

対象：女子大学生（18～21歳）9名

実験期日：1991年5月25日～6月4日、10月2～28日

環境条件：室温18.0°C～24.0°C、湿度54.0%～72.0%

測定内容：脳波バイオフィードバック装置（FM515S:FT 技研製）を用い、センサーベルトで2個の電極を前額の左右（F<sub>P2</sub>）に、クリップ電極を耳たぶに装着して単極誘導により、前頭葉から導出される2秒毎の優勢脳波を測定する。脳波の測定は $\alpha_2$ 指数を用いる。安静時は試行直前と直後の5分間の値を用いる。

実験の構成：実験Ⅰ 注意力計AF型（稻葉人間工学研究所製）により2Hzの速さで30秒間における3種の数字への正答率で集中力を測定し、その直前・直後の閉眼時の優勢脳波 $F_{P2} \alpha_2$  波の出現状態を検討する。この実験を3回繰り返す。

実験Ⅱ 脳波BFTによって優勢脳波 $F_{P2} \alpha_2$  波を増大する。脳波BFTの方法は、Bodysonic System (BODYSONIC社製)に着席させ、リラクセーションと脳波BFTのために、閉眼状態でシンセサイザータイプの音楽(エフティ技研製の言葉瞑想テープのTAPE2・応用編のB面第3曲)を聴かせる。次に脳波BFT機であるFM515Sを用いて $F_{P2} \alpha_2$  波を多く出すように様指示する。FM515Sの機械は、優勢脳波 $F_{P2} \alpha_2$  波がでたら信号音が出る仕組みになっているので、この音を手掛かりに、脳波BFTをすることになる。BFTは3日単位とし、1日は実験室で行い、あと2日は、自宅で1日1回、実験Ⅱのテープによって自分でトレーニングする。期間は合計13日間。

実験Ⅲ 実験Ⅰと同様の実験を行う。但し集中力の測定は1回のみ行う。

[ 結果 ]

1 実験Ⅰ：個人別にみた集中力の成績と優勢脳波 $F_{P2} \alpha_2$  波出現状況との関係

表1から、概して集中力の成績と優勢脳波 $F_{P2} \alpha_2$  波の出

表1 優勢脳波 $F_{P2} \alpha_2$  波の出現率と集中力の成績との相関係数( $r$ )とその有意水準( $p$ )

脳波 $\alpha_2$	被験者	被験者 A B C D E F G H I									
		試行前 r	.970	.993	.870	.500	.996	.854	-.013	.900	.866
	P		.156	.044	.329	.667	.056	.349	.991	.091	.333
	試行後 r		.995	.996	-.851	-1.00	.945	.301	.999	.909	.000
	P		.167	.056	.352	.000	.212	.805	.032	.022	1.000

現率との間に高い相関を示す被験者が多く、両者の密接な関係がうかがわれる。但し有意水準の低いものが多い。

2 実験Ⅱ：優勢脳波 $F_{P2} \alpha_2$  波増大のための脳波BFTの効果の検討

表2 安静時と脳波BFT中の優勢脳波 $F_{P2} \alpha_2$  波のt検定結果(p)

脳波 $\alpha_2$	被験者	1回目					2回目					3回目					4回目					5回目				
		1	2	3	4	5	1	2	3	4	5	1	2	3	4	5	1	2	3	4	5					
	A	.226	.022 *	.014 *	.072	.023 *																				
	B	.105	.500	.174	.350	.248																				
	C	.445	.075	.378	.019 *	.017 *																				
	D	.076	-.139	.243	.022 *	.114																				
	E	.008 **	.006 **	.043 *	.029 *	.103																				
	F	.053	.225	.036 *	.155	.002 **																				
	G	.178	.073	.103	.086	.225																				
	H	.020 *	.011 *	.033 *	.070	.068																				
	I	.420	-.488	.303	.232	-.413																				

表2から、優勢脳波 $F_{P2} \alpha_2$  波は、9名中8名までが安静時と比べてBFT中に増大傾向を示し、6名が有意に増大したことがわかる。残りの1名（I）は一定の傾向がみられない。

3 実験Ⅲ：脳波BFTによる優勢脳波 $F_{P2} \alpha_2$  波増大後の集中力の状態の検討

図1、2から被験者Bは、優勢脳波 $F_{P2} \alpha_2$  波が実験ⅠよりⅢの方が増大し、同時に集中力も増強されたことがわかる。同じ傾向は、9名中7名でみられた。あの1名（G）は、 $\alpha_2$  波が減少し、集中力も減少したので両者の関係は同様である。残る1名は実験Ⅰですでに高い成功率为(94.1%)を示し、それ以上に成功率を高めることが難しい状態であると考えられた。

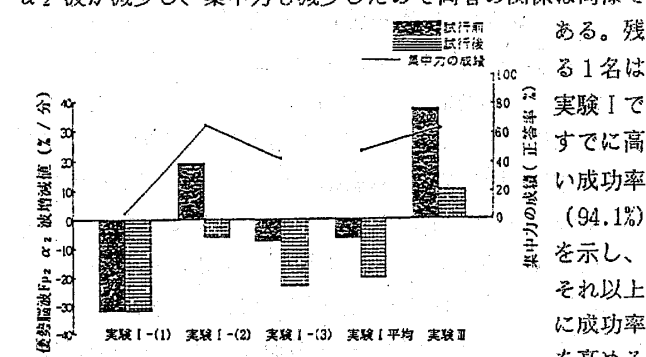


図1 実験Ⅰ(1～3回)と実験Ⅲの集中力測定時における優勢脳波 $F_{P2} \alpha_2$  波の増強値と集中力成績(被験者B)

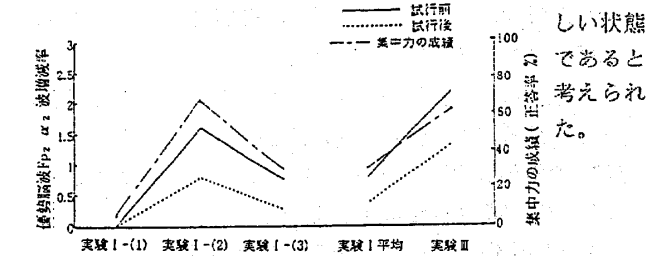


図2 実験Ⅰ(1～3回)と実験Ⅲの集中力測定時における優勢脳波 $F_{P2} \alpha_2$  波の増強率と集中力成績(被験者B)

[ 結論 ]

仮説1、2、3は、いずれも認められる。